




Analysis of land surface temperature (LST) changes in afforested areas of Khuzestan province (Case study: Dasht-e Azadegan county)

Zohreh Khorsandi Kouhanestani ¹, Masomeh Movaghari Roodposhti ²

¹ Assistant Professor, Department of Nature Engineering, Agricultural Sciences and Natural Resources University of Khuzestan, Mollasani, Iran, khorsandi@asnrukh.ac.ir

² Assistant Professor, Department of Nature Engineering, Agricultural Sciences and Natural Resources University of Khuzestan, Mollasani, Iran, Movaghari@asnrukh.ac.ir

| ARTICLE INFO. | ABSTRACT |
|--|---|
| <p>Article type: Research Paper</p> <p>Article history Received: 15 February 2026 Revised: 6 May 2026 Accepted: 19 May 2026 Published online: 20 May 2026</p> <p>Keywords: Arid and Semi-arid, Land Surface Temperature, Microclimate, NDVI</p> | <p>Extensive land cover changes, coupled with climate change in recent years, have led to increased land surface temperature (LST), subsequently elevating evaporation rates and reducing available water resources. This study aimed to evaluate the impact of afforestation projects on the trends of the Normalized Difference Vegetation Index (NDVI) and land surface temperature (LST) in Dasht-e Azadegan County, Khuzestan Province. Landsat 5, 7, 8 and 9 satellite imagery over a 25-year period (before and after afforestation) was utilized. Following land use mapping via supervised classification and the Random Forest algorithm, NDVI and LST (derived using the Single-Channel Algorithm) were extracted. The kappa coefficient and overall accuracy were 0.96 and 89.7%, respectively, that showed very good accuracy of the produced land use map. Trend analysis was performed using time-series graphs and statistical methods. Results indicated that afforested and irrigated agricultural areas significantly increased the regional mean NDVI. Despite a rising trend in air temperature during the study period, the LST in afforestation area increased 0.35 centigrade. But the LST trend was not statistically significant. LST in afforested areas was lower than LST in rangelands. This effect is primarily driven by shading and evapotranspiration mechanisms. However, the cooling intensity varied depending on factors such as vegetation density, albedo, and proximity to moisture sources. Afforestation can serve as an effective management strategy for enhancing vegetation cover, moderating microclimate, and reducing thermal stress in hot and arid regions.</p> |
| <p>Citation: Khorsandi Kouhanestani, Z., & Movaghari Roodposhti, M. (2026). Analysis of land surface temperature changes in afforested areas of Khuzestan province (Case study: Dasht-e Azadegan county). <i>Journal of Rainwater Catchment Systems</i>, 14(1), 1-18.</p> <p>DOR: 20.1001.1.24235970.1405.14.1.7.4</p> | <p></p> |
| <p>Publisher: Iranian Rainwater Catchment Systems Association</p> | <p>© Author(s)</p> |

*Corresponding author: Zohreh Khorsandi Kouhanestani

Address: Department of Nature Engineering, Agricultural Sciences and Natural Resources University of Khuzestan, Mollasani, Iran

Tel: +989132023182

Email: Khorsandi@asnrukh.ac.ir



Analysis of land surface temperature changes in afforested areas of Khuzestan province (Case study: Dasht-e Azadegan county)

Zohreh Khorsandi Kouhanestani^{*1} , Masomeh Movaghari Roodposhti² 

¹ Assistant Professor, Department of Nature Engineering, Agricultural Sciences and Natural Resources University of Khuzestan, Mollasani, Iran, Email: khorsandi@asnruk.ac.ir

² Assistant Professor, Department of Nature Engineering, Agricultural Sciences and Natural Resources University of Khuzestan, Mollasani, Iran, Email: khorsandi@asnruk.ac.ir

EXTENDED ABSTRACT

Introduction: Increased land surface temperature (LST) is a major consequence of land-use change and human pressures in arid and semi-arid regions. Khuzestan province, due to its arid and hot climate, industrial development, and extensive land cover changes, has faced intensifying urban heat island effects and environmental stresses in recent years. Landsat satellite imagery, due to its suitable spatial resolution, free access, and long-term archive, is considered one of the most important data sources for monitoring land cover changes and thermal parameters. The main target of this research is to estimate and analyze changes in NDVI and land surface temperature in some of the fenestration of Khuzestan province using Landsat5, 7, 8 and 9 satellite imagery and to investigate the role of afforestation in moderating land surface thermal conditions. The implementation of afforestation programs has been proposed as a management strategy for mitigating thermal conditions, improving vegetation cover, and increasing ecosystem sustainability.

Methodology: This research employed Landsat 5, 7, 8 and 9 satellite imagery, capturing periods both before and after the establishment of key afforestation projects. All data processing was conducted using the Google Earth Engine platform and ArcGIS software. To ensure robustness in temporal analysis, images with minimal cloud contamination were selected across multiple seasons and years. The spatial extent of the planted forests was delineated by generating a land use/land cover map. This was achieved through a supervised classification approach, utilizing various spectral band combinations and the Random Forest machine learning algorithm. The NDVI was derived from the red and near-infrared bands to serve as a primary indicator of vegetation vigor and density, enabling a detailed analysis of spatio-temporal greening patterns. Time-series plots of NDVI were constructed for each afforestation site to visualize and assess trends over the study period. Land surface temperature (LST) was retrieved using the established Single-Channel Algorithm. This technique leverages the differential atmospheric absorption in two adjacent thermal infrared bands to accurately correct for atmospheric effects and derive surface temperature. LST values were extracted for all land cover classes, and comparative analysis was performed to evaluate temperature changes before and after afforestation.

Results and Discussion: Analysis of the Landsat time series revealed that afforestation and agricultural expansion in the Dasht-e Azadegan region over the past 25 years have substantially increased the regional average NDVI. Notably, these green covers exerted a significant moderating influence on land surface temperature. While a clear warming trend was observed in near-surface air temperature over the 25-year period, this trend was not statistically significant for LST within the afforested patches. This finding points to a distinct cooling effect attributable to the planted forests.

The moderating impact on LST is primarily driven by biophysical mechanisms such as shading and evapotranspiration. However, the strength of this cooling effect varied spatially and was mediated by several factors, including vegetation density, surface albedo, proximity to water sources, and the inherent characteristics of the semi-arid climate. Interestingly, some sparsely planted areas with lower albedo even exhibited higher LST compared to surrounding rangelands or urban zones. In contrast, densely vegetated, irrigated agricultural fields showed a distinct negative temperature trend. A counterintuitive finding was that urban areas in this study displayed a milder temperature increase compared to many natural, dryland surfaces. This phenomenon, noted in

***Corresponding author:** Zohreh Khorsandi Kouhanestani

Address: Department of Nature Engineering, Agricultural Sciences and Natural Resources University of Khuzestan, Mollasani, Iran.

Tel: +989132023182

Email: Khorsandi@basnruk.ac.ir

other semi-arid cities, may be explained by factors such as shading from buildings, the use of high-albedo construction materials, extensive irrigated urban greenery, and the higher thermal capacity of moist urban soils relative to the dry, bare soils typical of the surrounding natural landscape.

Conclusion: This study demonstrates that integrating satellite remote sensing with cloud-computing platforms like Google Earth Engine provides a powerful and efficient methodology for assessing the environmental impacts of afforestation. The observed rise in NDVI and concurrent mitigation of LST in planted areas underscore the potential of strategic afforestation to improve local microclimates and alleviate thermal stress in hot, dry regions such as Khuzestan. These findings offer a scientific foundation for informed land management and future afforestation planning aimed at enhancing ecological resilience and sustainability.

Ethical Considerations

Data availability statement: The datasets are available upon a reasonable request to the corresponding author.

Funding:

Authors' contribution: **Khorsandi Kouhanestani, Z.:** Conceptualization, performing software and statistical analyses, and writing the introduction, research methodology, results, and parts of the discussion section of the manuscript; **Movaghari Roodposhti, M.:** Editing and revising the article and participating in writing the introduction, results, and discussion sections.

Conflicts of interest: The authors of this paper declared no conflict of interest regarding the authorship or publication of this article.

Acknowledgment: The authors acknowledge the Agricultural Sciences and Natural Resources University of Khuzestan, where this research was conducted as part of an independent study.



بررسی تغییرات دمای سطح زمین در جنگل‌های دست‌کاشت استان خوزستان (مطالعه موردی: شهرستان دشت آزادگان)

زهره خورسندی کوهانستانی*^۱، معصومه موقری رودپشتی^۲ 

^۱ استادیار گروه مهندسی طبیعت، دانشکده کشاورزی، دانشگاه علوم کشاورزی و منابع طبیعی خوزستان، ملائانی، ایران، Khorsandi@asnruk.ac.ir
^۲ استادیار گروه مهندسی طبیعت، دانشکده کشاورزی، دانشگاه علوم کشاورزی و منابع طبیعی خوزستان، ملائانی، ایران، Movaghari@asnruk.ac.ir

| مشخصات مقاله | چکیده |
|--|--|
| <p>نوع مقاله: علمی-پژوهشی</p> <p>تاریخچه مقاله</p> <p>دریافت: ۲۶ بهمن ۱۴۰۴</p> <p>بازنگری: ۱۶ اردیبهشت ۱۴۰۵</p> <p>پذیرش: ۲۹ اردیبهشت ۱۴۰۵</p> <p>انتشار برخط: ۳۰ اردیبهشت ۱۴۰۵</p> <p>واژه‌های کلیدی: خشک و نیمه‌خشک، دمای سطح زمین، ریزاقليم، شاخص نرمال شده تفاضل پوشش گیاهی</p> | <p>تغییرات گسترده پوشش زمین، در سال‌های اخیر با تغییرات اقلیمی باعث افزایش دمای سطح زمین و به دنبال آن افزایش تبخیر و کم شدن منابع آبی در دسترس شده است. این پژوهش با هدف ارزیابی تأثیر طرح‌های جنگل‌کاری دست‌کاشت بر روند تغییرات شاخص پوشش گیاهی (NDVI) و دمای سطح زمین (LST) در شهرستان دشت آزادگان استان خوزستان انجام شده است. در این پژوهش، از تصاویر ماهواره‌ای لندست ۸ و ۹ طی یک دوره ۲۵ ساله (قبل و پس از اجرای جنگل‌کاری) استفاده شد. پس از تهیه نقشه کاربری اراضی با روش طبقه‌بندی نظارت‌شده و الگوریتم جنگل تصادفی، شاخص NDVI و LST (با استفاده از الگوریتم تک کاناله) استخراج شدند. ضریب کاپا و صحت کلی در این پژوهش به ترتیب ۰/۹۶ و ۹۴/۸ درصد، به دست آمد که نشان‌دهنده دقت خیلی خوب نقشه کاربری اراضی دشت آزادگان است. تحلیل روند تغییرات با ترسیم نمودارهای سری‌زمانی و روش‌های آماری صورت گرفت. نتایج نشان داد که مناطق جنگل‌کاری شده و کشاورزی آبی، میانگین NDVI منطقه را به‌طور معناداری افزایش داده‌اند. علی‌رغم روند افزایشی دمای هوا در دوره مطالعه، LST در طی این دوره ۰/۳۵ درجه سانتی‌گراد افزایش یافته است اما روند LST از نظر آماری معنادار نبود. دمای سطح زمین در مناطق جنگل‌کاری شده کم‌تر از مراتع بود. این اثر عمدتاً از طریق مکانیسم‌های سایه‌اندازی و تبخیر تعرق ایجاد می‌شود. با این حال، شدت اثر خنک‌کنندگی تحت تأثیر عواملی چون تراکم پوشش، آلبیدو و مجاورت با منابع رطوبت متغیر بود. جنگل‌کاری می‌تواند به‌عنوان یک راهبرد مدیریتی مؤثر، در بهبود پوشش گیاهی، تعدیل ریزاقليم و کاهش تنش‌های حرارتی در مناطق گرم و خشک ایفای نقش کند.</p> |
| <p>استناد: خورسندی کوهانستانی، زهره و موقری رودپشتی، معصومه (۱۴۰۵). بررسی تغییرات دمای سطح زمین در جنگل‌های دست‌کاشت استان خوزستان (مطالعه موردی: شهرستان دشت آزادگان). <i>سامانه‌های سطوح آبرگیر باران</i>، ۱۱(۳)، ۱۲۱-۱۳۶.</p> <p>DOR: 20.1001.1.24235970.1405.14.1.7.4</p> | |
| <p>ناشر: انجمن علمی سیستم‌های سطوح آبرگیر باران ایران</p> | <p>© نویسندگان</p> |

* نویسنده مسئول: زهره خورسندی کوهانستانی

نشانی: استادیار گروه مهندسی طبیعت، دانشکده کشاورزی، دانشگاه علوم کشاورزی و منابع طبیعی خوزستان، ملائانی، ایران

تلفن: ۰۹۱۳۲۰۲۳۱۸۲

پست الکترونیکی: Khorsandi@asnruk.ac.ir

مقدمه

پوشش گیاهی جزء اصلی بیوسفر است که از طریق تبادل انرژی، کربن و آب بین بیوسفر و اتمسفر نقش مهمی در سیستم اقلیمی ایفا می‌کند. مطالعات نشان داده است تغییرات اقلیمی و تغییر در چرخه آب به شدت بر روی بیوسفر و جزء اصلی آن یعنی گیاهان اثر گذار است. در دهه های اخیر پوشش گیاهی با فعالیت‌های انسانی مانند شهرنشینی و کشاورزی و سایر عوامل به شدت تغییر کرده است. بنابراین، می‌توان از تغییرات پوشش گیاهی به عنوان شاخصی برای بیان تغییر اقلیم، تخریب طبیعت و فعالیت‌های انسانی استفاده کرد (Bagherzadeh et al., 2022). تغییرات حاصل از فعالیت‌های انسانی در سطحی کوچک و با شدت کم در بلندمدت می‌تواند موجب تغییراتی در الگوهای پوشش گیاهی و کاربری زمین و در نهایت ریزاقلیم منطقه شود (Gao et al., 2019) پایش تغییرات پوشش گیاهی در سطح منطقه‌ای و استانی با استفاده از روش‌های میدانی برای بررسی و پایش پوشش گیاهی در زمان و مکان، به دلیل وسعت زیاد، پیچیدگی، میزان و ماهیت آن دشوار است. روش‌های مختلفی برای ارزیابی تغییرات پوشش گیاهی در مقیاس زمانی و مکانی وجود دارد. در این بین استفاده از سنجش از دور به عنوان ابزاری قدرتمند در این زمینه مورد استفاده قرار گرفته است (Jahantigh and Jahantigh, 2020). یکی از شاخص‌هایی که در این زمینه بسیار مورد استفاده قرار می‌گیرد شاخص تفاوت پوشش گیاهی نرمال شده (NDVI)^۱ است. این شاخص بر این اساس استوار است که میزان کلروفیل موجود در ساختار گیاهان می‌تواند نور قرمز را جذب و لایه مزوفیل برگ نور مادون قرمز نزدیک را منعکس سازد. بنابراین بررسی تغییرات شاخص NDVI می‌تواند در زمینه پایش تغییرات پوشش گیاهی بسیار کمک کننده باشد (Gao et al., 2019).

یکی از پارامترهای تاثیرپذیر از تغییرات پوشش گیاهی دمای سطح زمین است. بیش از یک دهه است که دمای سطح زمین به عنوان یک پارامتر برای درک تغییرات اقلیمی در سطح جهانی مورد استفاده قرار گرفته است. این شاخص در بسیاری از فرایندهای سطحی و تغییرات اقلیمی کاربرد دارد به همین دلیل دمای سطح زمین (LST)^۲ یک پارامتر مهم در تعادل انرژی سطح زمین به شمار می‌رود. دمای سطح زمین نقش مؤثری بر فرایندهای محیطی دارد. دمای سطح زمین بر مسایل زیست محیطی مثل میزان تبخیر و تعرق، جزایر حرارتی، رطوبت خاک و پوشش گیاهی اثرگذار است، که این عوامل بر تبادل آب و انرژی بین سطح زمین و اتمسفر نقش مهمی دارد (Gao et al., 2019). تغییرات کاربری اراضی به واسطه تغییر در پوشش زمین، میزان نفوذ خاک، نوع پوشش گیاهی، تغییر شیب و میزان بازتاب خورشید، ذخیره سازی گرمای خاک، تبخیر، دما و مقدار رطوبت خاک را تحت تاثیر قرار می‌دهند. جنگل‌های دست‌کاشت با توجه به اینکه میزان و نوع و میزان پوشش گیاهی زمین را تغییر می‌دهد بر روی میزان دمای منطقه جنگل کاری اثرگذار است. اما میزان تغییرات ایجاد شده در دمای خاک باید مورد ارزیابی قرار گیرد چرا که میزان تغییر کاربری یا به عبارتی تغییر پوشش زمین بر روند دمای سطح زمین برای مدیریت منابع آب و خاک بسیار موثر است (Khaledi et al., 2022).

مطالعات بسیاری استفاده از داده‌های چند طیفی ماهواره‌ای را به طور موفقیت‌آمیز در پژوهش‌های محیطی استفاده کرده‌اند (Sohrabi et al., 2021; Jahani et al., 2024; Jahdi, 2023) از سال ۱۹۸۰ تاکنون از تصاویر ماهواره‌ای برای برآورد دمای سطح زمین استفاده شده است (Lillesand, 2014) فناوری سنجش‌ازدور، امکان پایش مکانی و زمانی این کمیت را در سطوح وسیع فراهم می‌آورد (Zarei et al., 2021). برای این منظور روش‌های متعددی مورد استفاده قرار گرفته‌اند. (Arvin, 2019) با استفاده از الگوریتم پنجره مجزا برای برآورد دمای سطح خاک منطقه اصفهان استفاده کرد و دریافت این الگوریتم دارای کارایی مناسب برای برآورد دمای سطح زمین است. (Mohammadi et al., 2021) تغییرات دمایی کاربری‌های اراضی مختلف در شهر زنجان را در بازه زمانی ۲۰۱۳ تا ۲۰۱۹ با مقایسه الگوریتم‌های برآورد LST، ارزیابی کردند. نتایج این پژوهش نشان داد دوره مورد مطالعه الگوریتم تک کاناله (SC)^۳ دارای کمترین RMSE و MAE و بیشترین دقت است. (Sekertekin and Bonafoni, 2022) میزان دمای سطح زمین را با سه الگوریتم انتقال تابش، الگوریتم تک کاناله و تک پنجره برآورد کردند و نتایج نشان داد برآورد ها دارای نتایج رضایت‌بخشی بوده است.

(Bondar et al., 2021) در دشت مشهد، با استفاده از تصاویر ماهواره لندست ۵، لندست ۷ و لندست ۸ بین سال‌های ۱۹۹۶ تا ۲۰۱۶ به کمک روش‌های مختلف تعیین دمای سطح (LST)، دمای پوشش گیاهی را محاسبه کردند. نتایج استفاده از الگوریتم‌های مختلف محاسبه LST در دشت مشهد نشان داد که روش پنجره مجزا (SW)^۴ نسبت به سایر روش‌ها مقادیر بالاتری از LST را ارائه می‌دهد، در مناطق شهری، از بین روش‌های مختلف تعیین LST، بیش‌ترین همبستگی‌ها بین دمای هوا در ایستگاه سینوپتیک مشهد و LST محاسباتی به روش تک کاناله یا SC دیده شد ($R^2=0.964$) در مناطق کوهستانی و کشاورزی، نیز بیش‌ترین همبستگی‌ها بین دمای هوا و LST

¹ Normalized Difference Vegetation Index

² Land Surface Temperature

³ Single-Channel Algorithm

⁴ Split-Window Algorithm

محاسباتی به روش تک پنجره اصلاحی یا IMW دیده شد. (Feng et al. (2019) رابطه بین تغییرات دمای سطح خاک را با سه فاکتور شاخص نرمال شده تفاضل پوشش گیاهی (NDVI)، شاخص نرمال شده تفاضل ساخت و ساز (NDBI) و شاخص نرمال شده تفاضل آب (NDWI)^۲ را مورد بررسی قرار دادند. نتایج این مطالعه نشان داد که دمای سطح خاک به شدت تحت تاثیر سه عامل ذکر شده قرار دارد. (Moradpour et al. (2022) از داده‌های ماهواره لندست برای برآورد دمای سطح زمین استفاده نمودند و نتایج نشان داد که دمای بالا در برخی از نقاط شهر اهواز، حاکی از فعالیت‌های صنعتی موجود در شهر اعم از صنایع فولاد، شرکت‌های نفت و نبود پوشش گیاهی کافی در زمین‌های بایر شهر بود. همچنین، (Abiyat et al. (2023) ابتدا تأثیر تغییرات کاربری اراضی بر دمای سطح زمین در شهر اهواز را بررسی کردند بدین منظور از تصاویر ماهواره‌ای سال‌های ۲۰۰۲، ۲۰۱۳ و ۲۰۲۰ استفاده نمودند و با روش شیء‌گرا، طبقه‌بندی شده انجام گرفت و دمای سطح زمین با استفاده از الگوریتم پنجره مجزا محاسبه شد. نتایج این مطالعه بر اثر زیاد پوشش گیاهی در کاهش دمای سطح زمین و شدت جزایر حرارتی تاکید کرد. (Alemu (2019) طی مطالعه‌ای تغییرات زمانی و مکانی دمای سطح زمین را با شاخص NDVI در حوضه آبخیز آنداسا در اتیوپی دریافتند که شاخص دمای سطح با NDVI رابطه معکوس دارند. (Kakehmami et al. (2020) طی مطالعه‌ای رابطه دمای سطح زمین و کاربری اراضی در شهرستان نمین، دریافتند نوع کاربری و تغییرات کاربری اراضی و پوشش گیاهی تأثیر محسوسی در تغییرات دمای سطح زمین دارد. در مناطق با دمای کمتر، پوشش گیاهی انبوه‌تری وجود دارد که بیانگر رابطه معکوس بین شاخص پوشش گیاهی و دمای سطح زمین است.

با توجه به مطالب ارائه شده می‌توان دریافت استفاده از سنجش از دور در برآورد دمای سطح زمین نتایج رضایت بخش داشته است و محققین مختلف کاربرد این ابزار را توصیه نموده‌اند. همچنین بر پوشش گیاهی و تراکم آن به‌عنوان یکی از مهم‌ترین عوامل موثر بر دمای سطح خاک تاکید شده است، تغییرات دمای سطح زمین نیز می‌تواند بر چرخه آب و تغییرات اقلیمی موثر باشد. یکی از مناطق گرم و خشک ایران که به شدت توسط بیابانزایی مورد تهدید است، شهرستان دشت آزادگان در استان خوزستان است. در این منطقه به منظور کنترل و کاهش روند بیابانزایی، برنامه جنگل کاری اجرا شده است. این پژوهش با هدف بررسی تأثیر جنگل‌های دست کاشت بر دمای سطح زمین و تغییرات درصد پوشش گیاهی از طریق برآورد NDVI در طی ۲۵ سال اخیر انجام شده است.

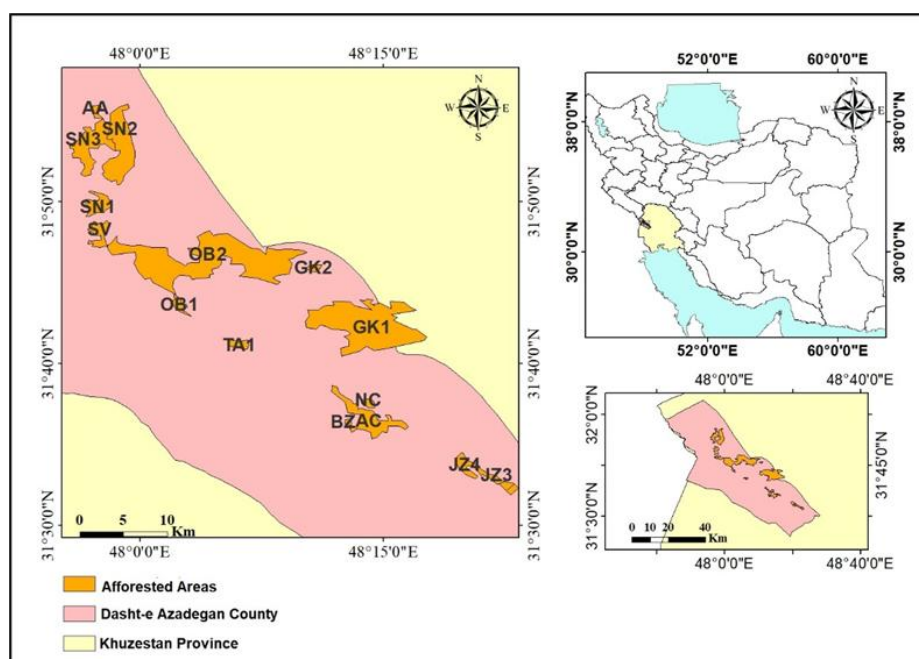
مواد و روش تحقیق

منطقه مورد مطالعه

منطقه مورد مطالعه در این پژوهش، شهرستان دشت آزادگان در غرب استان خوزستان است. در این منطقه در سالهای گذشته توسط اداره منابع طبیعی استان خوزستان جنگل‌های دست کاشت به منظور کنترل بیابانزایی صورت گرفته است. در این مطالعه تغییرات دمای سطح زمین در ۱۷ محدوده جنگل دست کاشت بیابانی مورد ارزیابی و بررسی قرار گرفت که موقعیت این جنگل‌ها در شهرستان دشت آزادگان و استان خوزستان در شکل (۱) ارائه شده است.

¹ Normalized Difference Built-up Index

² Normalized Difference Water Index



شکل ۱- موقعیت منطقه مورد مطالعه
Figure 1- Location of the study area

در این منطقه برای ایجاد جنگل های دست کاشت در همه قطعات گونه سمر (*Prosopis juliflora*) و در قطعات SN1-3 و GK1 و جز سمر، گونه گز شاهی (*Tamarix aphylla*) نیز کاشته شده است. سن درختان در اکثر قطعات مورد مطالعه اغلب بیش تر از ۲۵ سال و سایر قطعات نیز بین ۲۰ تا ۲۵ سال است. تراکم درختان در بیش تر قطعات ۵۰ تا ۱۰۰ اصله در هکتار است اما در قطعات AA و ob2 تراکم بالاتری (۱۰۰-۲۰۰ اصله در هکتار) دیده می شود، در حالی که برخی مناطق مانند NC و بخش‌هایی از SN و JZ3 تراکم‌های پایین تر (کم تر از ۵۰ اصله در هکتار) دارند. درصد تاج پوشش بیش تر قطعات مورد مطالعه ۱۱-۲۰ درصد و در مناطق AA، ob2 و بخش‌هایی از SN1 پوشش بالاتر (۲۱-۵۰ درصد) و منطقه GK1 پوشش بسیار کم (کم تر از ۱۰ درصد) وجود دارد. در نهایت، از نظر ارتفاع درختان، اکثر قطعات دارای ارتفاع غالب بیش از ۳ متر هستند. در برخی قطعات مانند SN3، SV، JZ4، JZ3، JZ1، TA1، ارتفاع ۲ تا ۳ متر است و در قطعه GK1 درختان با ارتفاع کم تر از ۲ متر نیز دیده می شود.

روش کار

بررسی تغییرات دمای هوا در محدوده مورد مطالعه با کمک داده های ثبت شده دمای هوا در ایستگاه سوسنگرد و بستان در طی دوره آماری ۱۳۷۸ تا ۱۴۰۲ انجام شد. به منظور برآورد دما و شاخص پوشش استاندارد شده در برخی از جنگل‌های دست‌کاشت استان خوزستان از تصاویر ماهواره لندست ۵، ۷، ۸ و ۹، Collection 2 استفاده شد. کلیه تصاویر موجود در آرشیو سامانه گوگل ارث انجین که دارای پوشش ابر کم تر از ۱۰ درصد بودند برای برآورد میانگین ماهانه دمای سطح زمین و NDVI به کار گرفته شدند. پردازش ها به کمک سامانه گوگل ارث انجین و Arcgis انجام گرفت. ویژگی داده های به کار رفته در این پژوهش در جدول (۱) آورده شده است. تهیه نقشه کاربری اراضی با استفاده از روش طبقه‌بندی نظارت‌شده و با کمک الگوریتم جنگل تصادفی، بدست آمد و مرز محدوده جنگل‌های دست کاشت مشخص شد.

جدول ۱- ویژگی های سری زمانی تصاویر ماهواره‌ای مورد استفاده

Table 1 - Characteristics of the satellite image time series used

| Bands | Sensor | Row | Path | Time period | Satellite |
|----------------------|--------------|-----|------|-------------|------------|
| Band 3, 4, 6 | TM | 38 | 166 | 1999-2013 | Landsat 5 |
| Band 3, 4, 6 | ETM+ | 38 | 166 | 2013-2014 | Land sat 7 |
| SR_B 4, SR_B 5, B 10 | OLI/TIRS | 38 | 166 | 2014-2022 | Land sat 8 |
| SR_B 4, SR_B 5, B 10 | OLI-2/TIRS-2 | 38 | 166 | 2022-2024 | Land sat 9 |

شاخص تفاوت پوشش گیاهی نرمال شده با استفاده از باندهای قرمز و مادون قرمز نزدیک و با کمک رابطه زیر بدست می‌آید. برای بررسی تغییرات این شاخص و بررسی تاثیر جنگل‌کاری‌ها در منطقه لازم نمودار سری زمانی تغییرات NDVI ترسیم گردد. برای برآورد این شاخص از رابطه (۱) استفاده می‌گردد.

$$NDVI = \frac{(NIR - R)}{(NIR + R)} \quad (1)$$

برای این منظور سری زمانی تصاویر بازتاب زمینی (Surface reflectance) باند های ۴ و ۵، ماهواره لندست ۸ و ۹ و تصاویر بازتاب زمینی سنجنده TM و ETM+ باند های ۳ و ۴ به ترتیب در ماهواره‌های لندست ۵ و ۷ در سامانه گوگل ارث انجین مورد استفاده قرار گرفته و نمودار سری زمانی شاخص NDVI برای منطقه جنگل‌کاری ترسیم شد.

برای تهیه نقشه دمای سطح زمین از روش تک کاناله استفاده شد، در طول سه دهه گذشته محققین زیادی بر اساس روشهای تجربی پارامترهای الگوریتم تک کاناله را محاسبه کرده‌اند. بدین منظور علاوه بر نقشه شاخص نرمال شده تفاضل پوشش گیاهی (NDVI)، برای برآورد رادیانس طیفی لایه بالای اتمسفر از باند ۱۰ سنجنده حرارتی سنجنده TIRS_2 و TIRS ماهواره لندست ۸ و ۹ و باند ۶ سنجنده TM و ETM+ ماهواره های لندست ۵ و ۷ نیز استفاده شد. ابتدا مقادیر DN باند حرارتی با استفاده از ضرایب مقیاس‌دهی موجود در فایل Meta Data به TOA Radiance تبدیل شد، سپس با استفاده از ثابت‌های حرارتی، دمای روشنایی (Brightness Temperature) محاسبه شد و در ادامه با اعمال گسیلمندی استخراج‌شده از NDVI، دمای سطح زمین برآورد شد. با کمک رابطه (۲) ارزش رقومی تصاویر به رادیانس طیفی تبدیل می‌شود.

$$L_Y = M_L Q_{cal} + A_L \quad (2)$$

در این رابطه L_Y رادیانس طیفی بالای اتمسفر، M_L عامل مقیاس سازی ضربی باند خاص، A_L عامل مقیاس سازی جمعی باند خاص، Q_{cal} ارزش رقومی باند (DN) می باشد. مقادیر M_L و A_L از فایل مرجع تصاویر قابل استخراج است. سپس با کمک ثابت حرارتی در فایل مرجع تصویر، رادیانس طیفی به دمای روشنایی تبدیل می‌شود.

$$BT = \frac{K_2}{\ln\left(\frac{K_1}{L_Y} + 1\right)} \quad (3)$$

که در این رابطه BT دمای روشنایی ماهواره بر حسب کلونین، K_1 ثابت حرارتی، K_2 ثابت حرارتی دوم است. سپس شاخص پوشش گیاهی تفاضلی نرمال شده (NDVI) محاسبه می‌شود و با کمک این شاخص به شاخص پوشش گیاهی سبز جز به جز (FVC) خواهیم رسید که از رابطه زیر محاسبه می‌شود.

$$FVC = \left(\frac{NDVI - NDVI_{min}}{NDVI_{max} - NDVI_{min}} \right)^2 \quad (4)$$

با استفاده از رابطه زیر گسیلمندی سطح زمین (LSE) برای منطقه مورد مطالعه محاسبه می‌شود. گسیلمندی نسبت میان گسیلش از یک شی به گسیلش از جسم سیاه در دمای ثابت است.

$$\varepsilon = 0.004FVC + 0.986 \quad (5)$$

در نهایت با استفاده از رابطه (۶) مقدار دمای سطح زمین بر حسب درجه سانتی گراد بدست می‌آید.

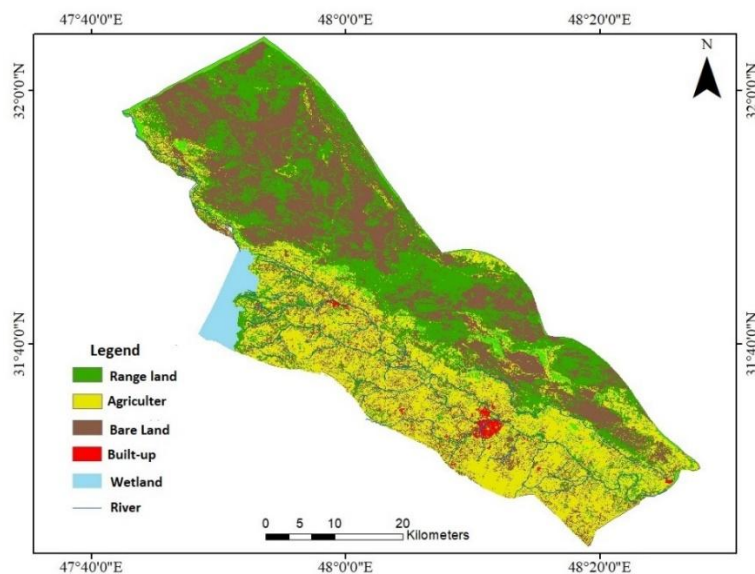
$$LST = \frac{BT}{1 + \left(\frac{\lambda \times BT}{\rho} \right) \times \ln \varepsilon} - 273 \quad (6)$$

در این رابطه ρ ضریب ثابت (۱۰ - 3×10^{-8})، λ برای باند ۱۰ در حدود ۱۰/۹ نانومتر و ε نیز گسیلمندی است. در روش مورد استفاده گسیلمندی سطح به صورت ترکیب خطی از گسیلمندی پوشش گیاهی و خاک لخت بر اساس FVC محاسبه می‌شود. اما در مناطق خشک با توجه به درصد زیاد خاک لخت، محاسبه گسیلمندی دچار خطا می‌شود و در نهایت میزان دمای سطح زمین دچار کم‌برآوردی می‌گردد که این مسئله در تفسیر نتایج مدنظر قرار می‌گیرد. بعد از محاسبه دمای سطح زمین، تغییرات دمای سطح زمین در منطقه

جنگل دست کاشت مورد بررسی قرار گرفت. همچنین با استفاده از داده‌های دمای هوای ایستگاه بستان و سوسنگرد تغییرات دمای هوا نیز با استفاده از آزمون من کندال مورد ارزیابی قرار گرفته و میزان تغییرات اقلیمی بر تغییرات دمای سطح زمین نیز بررسی شد.

نتایج و بحث

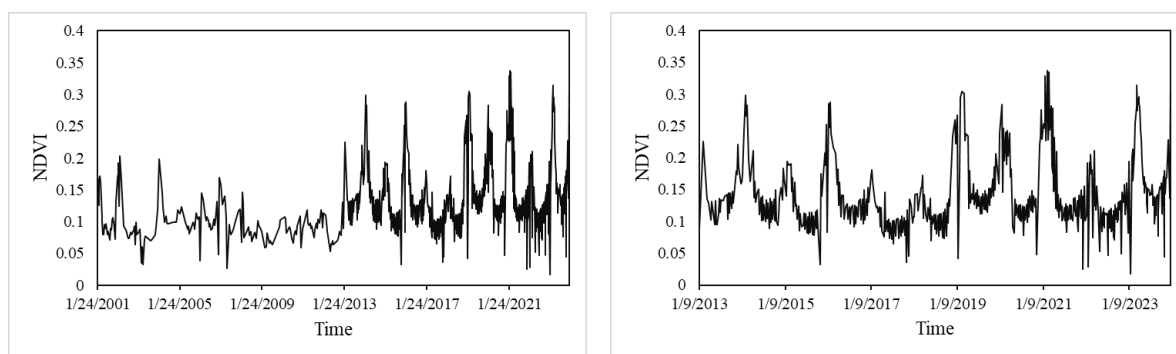
این پژوهش با هدف بررسی تأثیر جنگل‌کاری‌های انجام‌شده در دشت آزادگان بر تغییرات دمای سطح زمین (LST) انجام شد. بدین منظور ابتدا نقشه کاربری اراضی این منطقه تهیه شد و کاربری‌های جنگل‌های دست کاشت، اراضی مسکونی، زمین‌های کشاورزی و اراضی بایر تفکیک شدند. که نقشه آن در شکل (۲) نشان داده شده است. به منظور ارزیابی صحت نقشه تهیه شده از ضریب کاپا استفاده شد. ضریب کاپا و صحت کلی در این مطالعه به ترتیب ۰/۹۶ و ۹۴/۸ درصد، بدست آمد که نشان دهنده دقت خیلی خوب نقشه کاربری اراضی دشت آزادگان است.



شکل ۲- نقشه کاربری اراضی منطقه مورد مطالعه

Figure 2- Land use map for the study area

همچنین نتایج بررسی تغییرات NDVI در جنگل‌های دست کاشت منطقه مورد مطالعه نشان‌دهنده تغییرات مقدار این شاخص در طی دوره مورد بررسی است. شکل (۳) تغییرات متوسط NDVI را در منطقه مورد مطالعه نشان می‌دهد. همان‌طور که در نمودار نشان داده شده، در ۲۵ سال اخیر متوسط NDVI منطقه روبه افزایش بوده است. به طوریکه متوسط NDVI مناطق جنگل‌کاری در قبل از جنگل‌کاری کمتر از ۰/۱ و در انتهای دوره به ۰/۱۸ رسیده است که نشان از افزایش حدود دو برابری مقدار NDVI در مناطق جنگل‌کاری شده دارد. لازم به ذکر است در همه قطعات جنگل‌کاری شده NDVI به یک میزان افزایش نشان نداده است.



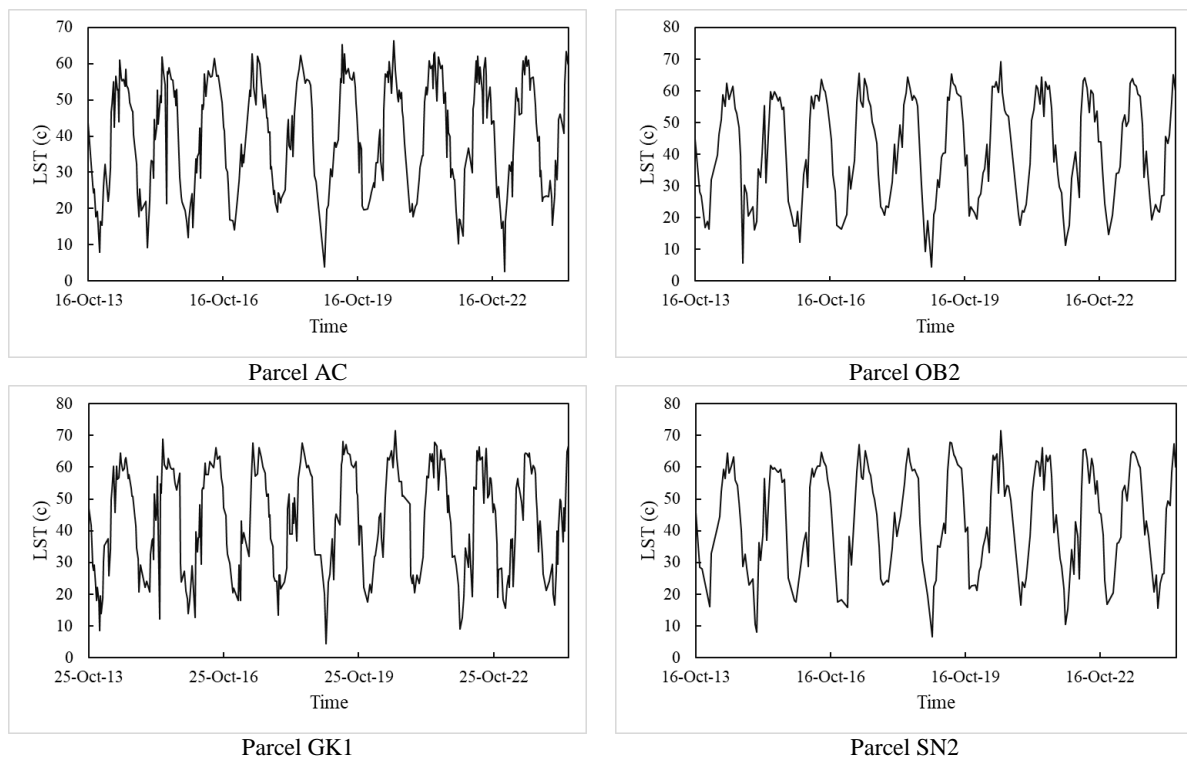
(B)

(A)

شکل ۳- تغییرات مقادیر NDVI در منطقه جنگل‌کاری شده (الف: بعد از جنگل‌کاری و ب: دوره مورد مطالعه)
Figure 3- Changes in NDVI values in the afforested area (A: Post-afforestation, B: Study period)

تغییرات دمای سطح زمین

در این مطالعه تغییرات دمای مناطق جنگل کاری شده به تفکیک هر قطعه مورد بررسی قرار گرفت. شکل (۴) تغییرات دمای سطح زمین در قطعات مختلف دشت آزادگان را نشان می‌دهد.



شکل ۴- تغییرات دمای سطح زمین در برخی قطعات جنگل کاری

Figure 4- Changes in Land Surface Temperature within specific afforestation parcels

نتایج حاصل از بررسی سری زمانی دمای سطح زمین در دوره مورد مطالعه که در جدول (۲) آمده، نشان داد، دمای سطح زمین در کلیه جنگل‌های دست کاشت از ۳/۵ تا ۷۰، در مراتع ۶/۸ تا ۷۳، در مناطق کشاورزی ۵ تا ۶۲ و در مناطق مسکونی ۳ تا ۵۳/۹ درجه سانتی‌گراد متغیر بوده است. متوسط دمای سطح زمین در اراضی جنگل کاری شده ۴۱، مراتع ۴۴/۵، اراضی زراعی ۳۴/۸ و در اراضی مسکونی ۳۳/۵ درجه سانتی‌گراد برآورد شده است. همچنین ضریب تغییرات دمای سطح زمین در مناطق مسکونی و کشاورزی نسبت به مرتعی و جنگل کاری شده کمتر بوده است. در مناطق جنگل کاری شده نیز ضریب تغییرات و حداکثر دما کمتر از مناطق مرتعی است که می‌تواند تا حدودی به نقش نسبی جنگل کاری در کاهش دما نسبت به مراتع اشاره داشته باشد. تغییرات دما در همه قطعات جنگل‌های دست کاشت یکسان نبوده است به طوری که در قطعات SN2، SN1 و AA تغییرات دمایی بیش‌تری نسبت به قطعات AC و BZ مشاهده شد.

جدول ۲- ویژگی‌های دمای سطح زمین در کاربری‌های مختلف

Table 2- properties of the land surface temperature trend across various land use

| Parcel/Landuse | Maximum | Minimum | Cv |
|------------------|---------|---------|------|
| Afforested Areas | 70.0 | 3.5 | 15.5 |
| Rangeland | 73.0 | 6.8 | 16.6 |
| Agriculture | 62.2 | 5.0 | 13.6 |
| Urban | 53.9 | 3.7 | 13.0 |

به منظور بررسی تغییرات دمایی در طی سال‌های انجام جنگل کاری اقدام به بررسی روند داده‌ها با استفاده از آزمون من‌کنندال شد. نتایج نشان داد که اگرچه نمودارها روند افزایشی جزئی در LST را نشان می‌دهند، اما این روند از نظر آماری در سطح ۵ درصد معنادار نبود. علاوه بر بررسی تغییرات روند دمای سطح زمین در هر منطقه جنگل کاری شده، به منظور مقایسه این تغییرات، تغییرات دمای سطح زمین در کاربری‌های مختلف نیز بررسی شد. نتایج نشان داد که در کاربری‌های مختلف نیز روند افزایشی دما در طی سال‌های مورد بررسی

مشاهده شده است. شیب روند دمای سطح زمین در کاربری‌های مختلف و قطعات جنگل کاری شده در جدول (۳) ارائه شده است. با توجه به شیب سن، میزان LST در مناطق جنگل کاری شده ۰/۰۷ تا ۰/۵ درجه سانتی‌گراد و به طور متوسط در کل قطعات جنگل کاری حدود ۰/۳۵ و در مناطق شهری ۰/۱۹ درجه سانتی‌گراد افزایش یافته است. از سوی دیگر LST در مناطق کشاورزی ۰/۰۲۵ کاهش یافته است.

جدول ۳- شیب روند دمای سطح زمین در مناطق مختلف

Table 3- Slope of the land surface temperature trend across various parcels

| Parcel | Sen (c/year) slope | P value |
|-----------------|--------------------|---------|
| AA | 0.022 | 0.201 |
| AC | 0.0137 | 0.08 |
| ob1 | 0.0051 | 0.762 |
| ob2 | 0.015 | 0.293 |
| BZ | 0.023 | 0.169 |
| TA1 | 0.0157 | 0.311 |
| JZ1 | 0.0065 | 0.23 |
| JZ2 | 0.0052 | 0.32 |
| JZ3 | 0.0076 | 0.176 |
| JZ4 | 0.0078 | 0.177 |
| SV | 0.017 | 0.296 |
| SN1 | 0.022 | 0.152 |
| SN2 | 0.012 | 0.416 |
| SN3 | 0.0131 | 0.417 |
| GK1 | 0.0133 | 0.403 |
| GK2 | 0.022 | 0.21 |
| NC | 0.016 | 0.254 |
| Agriculture | -0.0009 | 0.88 |
| Urban | 0.0078 | 0.532 |
| Rangeland | 0.0103 | 0.518 |
| Air Temperature | 0.012 | 0.0001 |

با بررسی روند داده‌های دمای متوسط هوای محدوده مورد مطالعه با استفاده از آزمون من‌کنندال مشخص شد که دمای هوا در این محدوده دارای روند تغییرات معنی‌دار در سطح ۹۵ درصد بوده و این روند نیز افزایشی است، اما دمای سطح زمین (LST) در مناطق جنگل کاری شده فاقد روند افزایشی معنی‌دار بوده است. یافته‌های این پژوهش حاکی از آن است که جنگل کاری و پوشش گیاهی زراعی در منطقه دشت آزادگان در ۲۵ سال اخیر متوسط NDVI منطقه را افزایش داده بر کاهش دمای سطح زمین اثر نسبی داشته‌اند. لازم به ذکر است نتایج ارائه‌شده تنها مربوط به لحظه عبور ماهواره لندست از روی منطقه مورد مطالعه می‌باشد. ماهواره‌های لندست در یک مدار خورشیدآهنگ قرار گرفته‌اند و معمولاً در حدود ساعت ۱۰ به وقت محلی از ایران عبور می‌کنند. از این رو، در سایر زمانها مثل عصر و شب ممکن است الگوهای دمایی متفاوتی داشته باشند که در این پژوهش مورد بررسی قرار نگرفته است و بنابراین نمی‌توان این نتایج را به همه ساعات شبانه روز تعمیم داد.

اثر خنک‌کنندگی می‌تواند تحت تأثیر عواملی چون تراکم ناکافی پوشش، آلبیدو، مجاورت با منابع رطوبت و همچنین ویژگی‌های خاص اقلیم نیمه‌خشک قرار گیرد که در ادامه به تفصیل بررسی می‌شود. پوشش گیاهی از طریق دو مکانیسم اصلی باعث کاهش LST می‌شود: اول، سایه‌اندازی که از تابش مستقیم خورشید به سطح خاک جلوگیری می‌کند و دوم، تبخیر-تعرق که انرژی گرمایی را به صورت گرمای نهان جذب می‌کند و از گرمایش سطح می‌کاهد. جنگل کاری‌های انجام‌شده توانسته‌اند تا حدی در برابر روند گرمایش جهانی مقاومت ایجاد کرده و از افزایش معنی‌دار LST در این مناطق بکاهند. ضمن اینکه کم‌ترین شیب دمایی (غیر معنی‌دار) در بین کاربری‌های مختلف مربوط به اراضی کشاورزی (۰/۰۰۹-) با شیب منفی است که نشان می‌دهد پوشش گیاهی متراکم در زمین‌های کشاورزی آبی، منجر به کاهش دمای سطح زمین و شیب دمایی منفی شده است که این مسأله می‌تواند به دلیل آبیاری این زمین‌ها باشد. در واقع آبیاری زمینهای کشاورزی با کاهش دمای سطحی و افزایش رطوبت، هم بر شیب دمایی عمودی (کاهش اختلاف دما با ارتفاع) و هم بر شیب افقی (ایجاد مناطق خنکتر نسبت به محیط خشک) تأثیر می‌گذارد. این تغییرات ممکن است الگوهای آب و هوایی محلی و حتی منطقه‌ای را تعدیل کند. در مطالعات دیگر نیز نتایج مشابه مشاهده شده است. به عنوان مثال، در دشت گرگان، کاربری زراعت آبی با بالاترین میزان سبزی‌نگی (NDVI) کم‌ترین میانگین LST (۳۴/۰۳ درجه سانتی‌گراد) را داشت، در حالی که اراضی بایر تا دمای ۴۵/۹۶ درجه سانتی‌گراد را نشان دادند (Jamali et al.,)

(2019). این رابطه معکوس قوی بین شاخص پوشش گیاهی (NDVI) و LST در مطالعات بسیاری از جمله (Ebrahimi et al. (2020) در شهرستان ارسنجان، (Khodai and Zandi (2024) در شهرستان خداآفرین و کلیبر، (Zakerinejad et al. (2023) در شهرستان اصفهان و (Zandi et al. (2023) در شهرستان اصفهان مشاهده شده است.

این نکته حائز اهمیت است که بر خلاف تصور در پژوهش حاضر، برخی قطعات جنگل کاری شیب دمایی بالاتری نسبت به اراضی مرتعی (Range) و حتی نسبت به اراضی شهری نشان دادند. به نظر می‌رسد با وجود پوشش گیاهی در این مناطق، تراکم درختان کم و درصد تاج پوشش در اکثر مناطق جنگل کاری کم‌تر از ۲۰ درصد است که برای ایجاد اثر خنک‌کنندگی کافی نمی‌باشد. خاک لخت در طول روز شار حرارتی بالایی دارد یعنی انرژی جذب شده صرف گرم کردن لایه‌های بالایی خاک می‌شود. اما این خاک دارای ظرفیت حرارتی پایین و رسانایی حرارتی محدود (به دلیل تخلخل بالا در صورت خشک بودن) است. در نتیجه سطح به سرعت داغ می‌شود (دمای سطحی بالا) اما این گرما به عمق نفوذ نمی‌کند. در حالی که پوشش گیاهی مترکم‌تر مرتع (اگرچه کم ارتفاع) باعث سایه‌اندازی کامل بر سطح خاک می‌شود و از تابش مستقیم به سطح خاک جلوگیری می‌کند. زمین‌های مرتعی اغلب پوشش علفی کوتاه و روشن‌تر دارند که آلبیدوی بالاتری دارند و گرمای کم‌تری جذب می‌کنند در حالی که درختان (به‌ویژه اگر برگ‌های تیره داشته باشند) آلبیدوی پایین‌تری دارند و گرمای بیش‌تری جذب می‌کنند. ضمن اینکه در مراتع ریشه‌های فشرده و مالچ گیاهی باعث افزایش رطوبت خاک و افزایش ظرفیت حرارتی می‌شود.

در مناطق خشک درختان معمولاً برای بقاء، روزنه‌های خود را در ساعات گرم روز می‌بندند تا آب را ذخیره کنند و این مکانیسم باعث کاهش شدید تعرق می‌شود. در نتیجه سهم شار گرمای نهان (تبخیر و تعرق) که یک سردکننده قوی است بسیار ناچیز خواهد بود. در واقع در جنگل کاری مناطق خشک چون تبخیر و تعرق محدود و آلبیدوی پایین است، انرژی جذب شده بیش‌تر است و منجر به گرمایش محسوس هوا و سطح می‌شود. در حالی که مراتع مناطق خشک به دلیل آلبیدوی بالاتر است و در صورت وجود رطوبت اندک در خاک، تبخیر سطحی خاک می‌تواند نقش خنک‌کننده داشته باشد. همچنین عامل باد نیز در مناطق خشک، معمولاً نقش مهمی در خنک کردن سطح خاک دارد. اما درختان در مناطق جنگل کاری شده با کاهش سرعت باد در سطح خاک، ضریب انتقال حرارتی همرفتی را کاهش می‌دهند. بنابراین گرمایی که در طول روز توسط سطح جذب می‌شود به سختی توسط باد جابه‌جا می‌شود و در منطقه جنگل کاری تجمع می‌یابد. در حالی که در مراتع باز، وزش باد، گرما را به صورت مؤثرتری از سطح خارج می‌کند.

نتیجه اینکه با وجود سایه‌اندازی درختان جنگلی، اما به دلیل افزایش جذب تابش خالص خورشیدی توسط سطح (درخت و خاک زیراشکوب) به دلیل ضریب آلبیدوی پایین‌تر، تبخیر و تعرق محدود و نقش بادشکن درختان جنگلی، پتانسیل گرمایش سطح در این مناطق بیش‌تر از مراتع است. در مقابل، برخی از مناطق جنگل کاری مانند JZ1، JZ2، JZ3 و ob1، شیب دمایی کم‌تری نسبت به اراضی مرتعی و مناطق شهری داشتند که احتمالاً ناشی از مجاورت با منابع رطوبت و اراضی زراعی دشت آزادگان است. در این پژوهش خصوصیات مانند سن، تراکم، درصد تاج پوشش و ارتفاع درختان تأثیر معنی‌داری بر شیب دمایی منطقه نداشته‌اند. به عنوان مثال دو منطقه جنگلی با کد BZ و ob1 که به ترتیب بیش‌ترین (۰/۰۲۳) و کم‌ترین (۰/۰۵۱) شیب دمایی را در بین جنگل‌های دست‌کاشت منطقه به خود اختصاص داده‌اند از نظر ویژگی‌های ذکر شده باهم مشابهت داشته‌اند. لازم به ذکر است با توجه به قدرت تفکیک تصاویر ماهواره‌ای مورد استفاده هر پیکسل مخلوطی از پوشش گیاهی و خاک لخت است و دمای سطح زمین برآورد شده برای هر پیکسل متوسط دمای سطح خاک لخت و پوشش گیاهی است. همچنین با توجه به خطای وارد شده از طریق FVC در محاسبه گسیلمندی سطح که منجر به کم برآوردی دمای سطح زمین می‌شد می‌توان گفت، میزان اثر خنک‌کنندگی پوشش گیاهی کم‌تر از مقدار واقعی برآورد شده است.

نکته جالب توجه دیگر در این مطالعه، الگوی متفاوت مشاهده‌شده در مناطق شهری بود به این دلیل که در این پژوهش بر خلاف تصور، مناطق شهری (Urban) نسبت به اراضی طبیعی (اراضی مرتعی و اکثر جنگل‌های دست‌کاشت) شیب و میزان LST کم‌تری را تجربه کرده‌اند که این نتیجه بر خلاف نتایج (Shabani et al. (2019) در شهرستان سقز، (Zakerinejad et al. (2023) در شهرستان اصفهان، (Asghari Saraskanroud. and Faal Naziri (2024) در شهرستان کرج و (Darvishi et al. (2019) در شهرستان مریوان می‌باشد. این تناقض در شهرهایی که سطح وسیعی از زمین‌های پیرامون آن بایر و خشک باشد، به دلیل ویژگی‌های خاک بدون پوشش اتفاق می‌افتد که در مطالعات (Parvar et al. (2024) در شهر بجنورد استان خراسان شمالی، (Haashemi et al. (2016) در شهر تهران، (Firoozi et al. (2023) در دشت یزد- اردکان، مشاهده شده است. علت این امر می‌تواند سایه‌اندازی ساختارهای شهری و استفاده از مصالح بازتابنده با آلبدوی بیش‌تر (سطوحی مانند آسفالت روشن، بتن، یا سنگفرش‌های سفید) باشد این در حالی است که در عرصه‌های طبیعی در مناطق خشک و نیمه خشک، خاک به طور مداوم و بدون محافظت در معرض تابش خورشید قرار دارد. از سوی دیگر وجود پوشش گیاهی و فضای سبز مترکم در اراضی شهری نسبت به مناطق خارج از شهر و همچنین آبیاری مداوم آنها باعث می‌شود مقدار قابل توجهی از انرژی گرمایی از طریق فرآیند تبخیر و تعرق (Evapotranspiration) جذب شده و در نتیجه باعث خنک شدن سطح خاک و هوای اطراف آن شود. این در حالی است که در

تضاد منافع نویسندگان: نویسندگان این مقاله اعلام می‌دارند که هیچ‌گونه تضاد منافی در خصوص نگارش و انتشار مطالب و نتایج این پژوهش ندارند. **سیاس گزاری:** نویسندگان، از دانشگاه علوم کشاورزی و منابع طبیعی خوزستان که این پژوهش به‌عنوان بخشی از یک طرح پژوهشی مستقل در آن انجام شده است، قدردانی می‌کنند.

منابع

- آروین، عباسعلی (۱۳۹۸). آشکارسازی دمای رویه سطح زمین با استفاده از تصاویر ماهواره‌ای. *مخاطرات محیط طبیعی*، ۸(۱۹)، ۹۱-۱۰۲. doi: 10.22111/jneh.2017.20855.1284
- اصغری سراسکانرود، صیاد و فعال نذیری، مهدی (۱۴۰۳). تحلیل کاربری اراضی و اثرات آن بر تغییرات دمای سطح زمین، مطالعه موردی: شهرستان کرج. *پژوهش‌های بوم‌شناسی شهری*، ۱۵(۱)، ۷۹-۱۰۰. doi: 10.30473/grup.2020.49570.2448
- ابراهیمی، علی، معتمدوزیری، بهارک، ناظم السادات، سیدمحمدجعفر، و احمدی، حسن (۱۳۹۹). بررسی رابطه بین دمای سطح زمین با تغییرات پوشش گیاهی و گستره آبی در شهرستان ارسنجان، ایران. *سنجش از دور و سامانه اطلاعات جغرافیایی در منابع طبیعی (کاربرد سنجش از دور و GIS در علوم منابع طبیعی)*، ۱۱(۴)، ۶۵-۸۶. SID. <https://sid.ir/paper/393438/fa>
- بندار، حسین، موسوی بایگی، محمد و قهرمان، بیژن (۱۴۰۰). بررسی و تفکیک جزیره حرارتی و گرمایش جهانی در دشت مشهد، آب و خاک، ۳۵(۱)، ۱۳۷-۱۵۱. magiran.com/p2257626
- پرور، زهرا، محمدزاده، مرجان و سعیدی، سپیده (۱۴۰۳). بررسی تغییرات دمای سطح زمین (LST) در منطقه‌بندی آب‌وهوای محلی (LCZs) مناطق نیمه‌خشک (مطالعه شهر بجنورد). *محیط زیست طبیعی*، ۷۷(۲)، ۳۷۱-۳۸۴. doi: 10.22059/jne.2024.372929.2653
- جمالی، زهرا، اونق، مجید، و سلمان ماهینی، عبدالرسول (۱۳۹۸). بررسی ارتباط دمای سطح زمین با کاربری اراضی و شاخص اختلاف گیاهی نرمال شده در دشت گرگان. *برنامه ریزی و آمایش فضا (مدرس علوم انسانی)*، ۳۳(۳)، ۱۷۵-۱۹۴. SID. <https://sid.ir/paper/407570/fa>
- جهان‌تیغ، منصور و جهان‌تیغ، معین (۱۳۹۸). بررسی تأثیر بهره‌وری سیلاب بر روند تغییرات پوشش گیاهی با استفاده از داده‌های میدانی و تصاویر لندست (مطالعه موردی: منطقه شندک سیستان). *سنجش از دور و سامانه اطلاعات جغرافیایی در منابع طبیعی (کاربرد سنجش از دور و GIS در علوم منابع طبیعی)*، ۱۰(۳۷)، ۵۷-۷۳. SID. <https://sid.ir/paper/189577/fa>
- جهانی، محمد، دستورانی، محمدتقی دستورانی، و راشکی، علیرضا (۱۴۰۳). پیش‌بینی جریان‌های سیلابی بر اساس راهکار ترکیبی داده‌های گوگل ارث انجین و مدل‌های هوش مصنوعی. *سامانه‌های سطوح آبگیر باران*، ۱۲(۴)، ۵۱-۷۲.
- جهدی، رقیه (۱۴۰۱). تحلیل و پیش‌بینی تغییرات کاربری اراضی با استفاده از سنجش از دور و افزونه QGIS MOLUSCE در شهرستان سیاهکل. *سامانه‌های سطوح آبگیر باران*، ۱۰(۴): ۲۹-۴۲.
- خالدی، شهریار، کیخسروی، قاسم، و احمدی براتی، فرزانه (۱۴۰۱). بررسی اثر تغییرات پوشش زمین بر دمای رویه سطحی زمین با استفاده از تصاویر ماهواره‌ای سنجنده مودیس-مطالعه موردی: شمال شرق ایران فصلنامه علمی-پژوهشی *اطلاعات جغرافیایی سپهر*، ۳۱(۱۲۳)، ۱۹۷-۱۷۹. doi: 10.22131/sepehr.2022.699921
- خدائی، علی و زندی، رحمان (۱۴۰۳). پایش تغییرات پوشش گیاهی و ارتباط آن با دمای سطح زمین و کاربری اراضی در شهرستان خداآفرین و کلیبر با استفاده از فناوری سنجش از دور. *محیط زیست طبیعی*، ۷۷(۱)، ۵۹-۷۳. doi: 10.22059/jne.2023.365834.2602
- درویشی، شادمان، رشیدپور، مصطفی و سلیمانی، کریم (۱۳۹۸). بررسی ارتباط تغییرات کاربری اراضی با دمای سطح زمین با استفاده از تصاویر ماهواره‌ای مطالعه موردی: شهرستان مریوان. *جغرافیا و توسعه*، ۱۷(۵۴)، ۱۴۳-۱۶۲. doi: 10.22111/gdij.2019.4361
- ذاکری نژاد، رضا، موحدی، سعید، جزی، زهرا (۱۴۰۲). بررسی تأثیر پوشش گیاهی بر تغییرات دمای سطحی زمین شهرستان اصفهان با استفاده از داده‌های سنجش از دور، فصلنامه برنامه ریزی فضایی (جغرافیا)، ۱۱(۱)، ۲۱-۴۰. magiran.com/p2608996
- زارعی، ارسطو، شاه حسینی، رضا و قنبری، روناک (۱۴۰۰). محاسبه و ارزیابی دمای سطح زمین با استفاده از الگوریتم پنجره مجزای غیرخطی و تصاویر ماهواره سنتینل ۳- مطالعه موردی: استان تهران. *اطلاعات جغرافیایی «سپهر»*، ۳۰(۱۱۹)، ۵۹-۷۴. doi: 10.22131/sepehr.2021.247876
- زندی، رحمان، سلمانی مقدم، محمد و روکی، زهره (۱۴۰۲). سنجش میزان خودهمبستگی فضایی دمای سطح زمین با کاربری اراضی نمونه مطالعه: شهر اصفهان. *جغرافیا و برنامه‌ریزی محیطی*، ۳۴(۱)، ۶۱-۷۶. doi: 10.22108/gep.2022.132524.1488
- ساعدنپناه، مهین، امان‌اللهی، جمیل، قربانی، فرشید (۱۴۰۰). بررسی تأثیر تغییرات کاربری اراضی بر دمای سطح زمین در مناطق سرد و نیمه خشک (مطالعه موردی: بخش مرکزی شهرستان سنج). *محیط زیست طبیعی*، ۷۴(۱)، ۸۲-۶۹.
- سهرابی، حریر، اسماعیل‌پور، یحیی، مهدوی نجف‌آبادی، رسول، بذرافشان، ام‌البنین، زمانی، حسین (۱۴۰۲). طبقه‌بندی و بررسی داده‌های شاخص نرمال شده تفاضلی پوشش گیاهی در حوضه‌های آبریز دز، کارون و کرخه. *سامانه‌های سطوح آبگیر باران*، ۱۱(۳)، ۵۴-۷۰.
- شعبانی، مرتضی، درویشی، شادمان و سلیمانی، کریم (۱۳۹۸). بررسی آثار تغییرات کاربری اراضی بر الگوهای زمانی - مکانی دمای سطح زمین و جزایر حرارتی؛ مطالعه موردی: شهرستان سقز. *جغرافیا و برنامه‌ریزی محیطی*، ۳۰(۱)، ۳۷-۵۴. doi: 10.22108/gep.2019.115781.1127

عبیات، محمد، ملکی، سعید، عبیات، محمود و عبیات، ماجده (۱۴۰۲). ارزیابی اثر تغییرات کاربری بر الگوی مکانی-زمانی دمای سطح زمین و جزایر حرارتی در شهر اهواز با استفاده از تصاویر ماهواره‌ای. *پژوهش‌های جغرافیایی انسانی*، ۵۵(۲)، ۳۹-۶۲. doi: 10.22059/jhgr.2022.326267.1008331

کاکه ممی، آزاد، قربانی، اردوان، اصغری سراسکانرود، صیاد، قلعه، احسان و غفاری، سحر (۱۳۹۹). بررسی رابطه تغییرات کاربری اراضی و پوشش گیاهی با دمای سطح زمین در شهرستان نمین. *سنجش از دور و سامانه اطلاعات جغرافیایی در منابع طبیعی*، ۲(۱۱)، ۲۷-۴۸. doi: 10.30495/girs.2020.674652

فیروزی، ابوالقاسم، بمانی، اکرم، عرفانی، ملیحه (۱۴۰۲). آشکارسازی ارتباط تغییرات مکانی-زمانی جزایر سرد و حرارتی با گرادیان تغییرات کاربری اراضی/پوشش اراضی در دشت یزد- اردکان. *تحلیل فضایی مخاطرات محیطی*، ۱۰(۱)، ۱۹۳-۲۱۲

محمدی، علیرضا، خدابنده لو، بهروز و بایابی، پریسا (۱۴۰۰). ارزیابی تغییرات دمایی کاربری اراضی شهر زنجان در بازه زمانی ۲۰۱۳ تا ۲۰۱۹ با استفاده از مقایسه الگوریتم‌های برآورد دمای سطح زمین. *آمایش جغرافیایی فضا*، ۱۱(۴۱)، ۱۲۷-۱۴۴. doi: 10.30488/gps.2021.250592.3313

مرادپور، هومن، رستمی پایدار، قدرت اله، باقری، سمانه و بندرزاده، مهسا (۱۴۰۱). بررسی تغییرات دمای سطح زمین با استفاده از پردازش تصاویر ماهواره‌ای لندست ۸ در شهر اهواز. *کاربرد سنجش از دور و سیستم اطلاعات جغرافیایی در علوم محیطی*، ۲(۲)، ۸۸-۷۳.

References

- Abiyat, M., Maleki, S., Abiyat, M. and Abiyat, M. (2023). Evaluation of the Effect of Land-Use Changes on the Spatio-Temporal Pattern of Land Surface Temperature and Heat Islands in Ahvaz City Using Satellite Images. *Human Geography Research*, 55(2), 39-62. doi: 10.22059/jhgr.2022.326267.1008331 [In Persian]
- Aghaei, R., Alvaninejad, S., Basiri, R., & Zolfaghari, R. (2013). Relationship between ecological species groups and environmental factors (Case study: Vezg region in southeast of Yasouj). *Iranian Journal of Applied Ecology*, 1(2), 53-64. <http://ijae.iut.ac.ir/article-1-186-fa.htm> [In Persian]
- Alemu, M. (2019). Analysis of spatio-temporal land surface temperature and normalized difference vegetation index changes in the Andassa Watershed, Blue Nile Basin, Ethiopia. *Journal of Resources and Ecology*, 10(1), 77-85. <https://doi.org/10.5814/j.issn.1674-764X.2019.01.010>
- Arvin, A. (2019). Land surface temperature detection using of satellite images. *Journal of Natural Environmental Hazards*, 8(19), 91-102. doi: 10.22111/jneh.2017.20855.1284 [In Persian]
- Asghari Saraskanroud, S., & Faal Naziri, M. (2024). Land use analysis and its effects on land surface temperature changes (case study: Karaj City). *Journal of Urban Ecology Researches*, 15(1), 79-100. doi: 10.30473/grup.2020.49570.2448 [In Persian]
- Bagherzadeh, A., Hoseini, A. V., & Totmaj, L. H. (2020). The effects of climate change on normalized difference vegetation index (NDVI) in the Northeast of Iran. *Modeling Earth Systems and Environment*, 6(2), 671-683. <https://doi.org/10.1007/s40808-020-00724-x>.
- Bondar, H. Mousavi Baygi, M., & Ghahraman, B. (2021). Evaluation and Separation between Urban Heat Island and Global Warming in Mashhad Region, *Journal of Water and Soil*, 35(1), 137-151. magiran.com/p2257626 [In Persian]
- Ebrahimi, A., Motamedvaziri, B., Nazemosadat, S.M.J., & Ahmadi, H. (2020). Assessing the relationship between land surface temperature with vegetation and water area change in Arsanjan county, Iran. *Journal of RS and GIS for Natural Resources*, 11(4), 65-86. doi: 10.30495/girs.2020.676475 [In Persian]
- Feng, Y., Gao, C., Tong, X., Chen, S., Lei, Z., & Wang, J. (2019). Spatial patterns of land surface temperature and their influencing factors: A case study in Suzhou, China. *Remote Sensing*, 11(2), 182. doi:10.3390/rs11020182
- Firoozi, A., Bemani, A., & Erfani, M. (2023). Revealing the relationship between spatial and temporal changes of cold and thermal islands with the gradient of land use/land cover changes in the Yazd-Ardakan Plain, *Journal of Spatial Analysis Environmental Hazards*, 10(1), 193-211. magiran.com/p2626896 [In Persian]
- Gao, J., Jiao, K., & Wu, S. (2019). Investigating the spatially heterogeneous relationships between climate factors and NDVI in China during 1982 to 2013. *Journal of Geographical Sciences*, 29(10), 1597-1609. doi:10.1007/s11442-019-1682-2
- Haashemi, S., Weng, Q., Darvishi, A., & Alavipanah, S. K. (2016). Seasonal variations of the surface urban heat island in a semi-arid city. *Remote Sensing*, 8(4), 352. <https://doi.org/10.3390/rs8040352>.
- Jahantigh, M., & Jahantigh, Moien. (2020). Study effect of flood productivity on vegetation changes using field work and Landsat satellite images (Case study: Shandak of Sistan region). *Journal of RS and GIS for Natural Resources*, 10(4), 57-73. SID. <https://sid.ir/paper/189577> [In Persian].
- Jahani, M., Dastorani, M.T., & Rashki, A. (2024) Prediction of flood flows based on the combined solution of Google Earth Engine data and artificial intelligence models. *Iranian Journal of Rainwater Catchment Systems*, 12 (4), 4. [In Persian]
- Jahdi, R. (2023) Land use changes analysis and prediction using remote sensing and QGIS MOLUSCE Plugin in the Siahkhan County. *Journal of Rainwater Catchment Systems*, 10 (4), 3 [In Persian]

- Jamali, Z., Ownegh, M., & Salman Mahini, A. R. (2019). Investigation the relationship between surface temperature and land use and Normalized Difference Vegetation Index in Gorgan plain. *The Journal of Spatial Planning and Geomatics*, 23(3), 175-194. [In Persian]
- Kakehmami, A., Ghorbani, A., Asghari Sarasekanrood, S., Ghale, E., & Ghafari, S. (2020). Study of the relationship between land use and vegetation changes with the land surface temperature in Namin County. *Journal of RS and GIS for Natural Resources*, 11(2), pp. 27-48. 10.30495/girs.2020.674652 [In Persian]
- Khaledi, S., Keikhosravi, G., & Ahmadibarati, F. (2022). Investigation of the effect of land cover changes on the surface temperature of the earth using MODIS satellite images - Case study: Northeast of Iran. *Scientific-Research Quarterly of Geographical Data (SEPEHR)*, 31(123), 179-197. doi: 10.22131/sepehr.2022.699921 [In Persian]
- Khodaie, A., & Zandi, R. (2024). Monitoring changes in vegetation cover and its relationship with surface temperature and land use in Khodaafrin and Kalibar cities using Remote sensing technology. *Journal of Natural Environment*, 77(1), 59-73. doi: 10.22059/jne.2023.365834.2602 [In Persian]
- Mohammadi, A., Khodabandehlou, B., & Babaie, P. (2021). Evaluation of landuses temperature changes in Zanjan in the period 2013 to 2019 using comparison of land surface temperature estimation algorithms. *Geographical Planning of Space Quarterly Journal*, 11(41), 127-144. doi: 10.30488/gps.2021.250592.3313 [In Persian]
- Moradpour, H., Rostami Paydar, G., Bagheri, S., & bandarzadeh, M. (2022). Investigation of surface temperature changes using Landsat 8 satellite image processing in Ahvaz. *Remote Sensing and GIS Applications in Environmental Sciences*, 2(2), 88-73. [In Persian]
- Parvar, Z., Mohammadzadeh, M., & Saeidi, S. (2024). Land surface temperature (LST) variability in local climate zones (LCZs) in semi-arid regions (Case study: Bojnourd City). *Journal of Natural Environment*, 77(2), 371-384. doi: 10.22059/jne.2024.372929.2653 [In Persian]
- saedpanah, M., Amanoallahi, J., & Ghorbani, F. (2021). Investigating the effect of land use changes on land surface temperature in cold and semi-arid areas (Case study: Central Zone of Sanandaj City). *Journal of Natural Environment*, 74(1), 69-82. doi: 10.22059/jne.2021.314241.2121 [In Persian]
- Sekertekin, A., & Bonafoni, S. (2020). Land surface temperature retrieval from Landsat 5, 7, and 8 over rural areas: Assessment of different retrieval algorithms and emissivity models and toolbox implementation. *Remote Sensing*, 12, 294; doi:10.3390/rs12020294
- Shabani, M., Darvishan, S., & Solaimani, K. (2019). Investigating the effects of land use change on spatiotemporal patterns of land surface temperature and thermal islands (Case study: Saqqez County). *Geography and Environmental Planning*, 30(1), 37-54. doi: 10.22108/gep.2019.115781.1127 [In Persian]
- Sohrabi, H., Esmailpour, Y., Mahdavi Najafabadi, R., Bazrafshan, O., & Zamani, H. (2023). Classification and analysis of normalized difference vegetation index data in Dez, Karun, and Karkheh watersheds. *Iranian Journal of Rainwater Catchment Systems*, 11(3), 54-71 [In Persian]
- Zakerinejad, R., Movaheid, S., & Jazi, Z. (2023). The effect of vegetation covers on surface temperature changing of Isfahan City (2001-2020). *Spatial Planning*, 13(1), 21-40. doi: 10.22108/sppl.2023.136224.1689 [In Persian]
- Zandi, R., Salmani Moghadam, M., & Roki, Z. (2023). Measuring the Degree of Spatial Autocorrelation of Land Surface Temperature with Land Use (Isfahan City). *Geography and Environmental Planning*, 34(1), 61-76. doi: 10.22108/gep.2022.132524.148 [In Persian]
- Zarei, A., Shakhoseini, R., & Ghanbari, R. (2021). Calculating land surface temperature using non-linear split window algorithm and sentinel-3 satellite imagery - Case study: Tehran Province. *Scientific- Research Quarterly of Geographical Data (SEPEHR)*, 30(119), 59-74. doi: 10.22131/sepehr.2021.24787 [In Persian]